

Numerische Betrachtungen und Realisierung mit DUNE

Daniel Seibel

Universität des Saarlandes

3. Januar 2018

Splitting-Methode

Finite-Element-Methode

Theoretische Einführung
Implementierung mit DUNE

Finite-Volumen-Methode

Theoretische Einführung
Implementierung mit DUNE

Beispiel Vlassov-Poisson Gleichung

Die nichtrelativistische Vlassov-Poisson Gleichung

$$\frac{\partial f(t, x, v)}{\partial t} + v \cdot \nabla_x f(t, x, v) - E(t, x) \cdot \nabla_v f(t, x, v) = 0,$$

$$-\Delta_x \phi(t, x) = \rho(t, x) = 1 - \int_{\mathbb{R}^3} f(t, x, v) dv,$$

$$E(t, x) = -\nabla_x \phi(t, x),$$

wird in zwei Transportgleichungen “aufgesplittet”.

Für festes v betrachte man

$$\frac{\partial f}{\partial t} + v \cdot \nabla_x f = 0,$$

und für festes x

$$\frac{\partial f}{\partial t} + E \cdot \nabla_v f = 0.$$

Beide Transportgleichungen sind linear mit konstanten Koeffizienten.

Godunov-Splitting

Die beiden Transportgleichungen werden pro Zeitschritt abwechselnd gelöst.

- ▶ Löse zuerst die erste Gleichung für alle v .
- ▶ Löse anschließend mit aktualisierten Anfangsbedingungen die zweite Gleichung für alle x .

Dabei muss im Vorfeld E aus dem Poisson-Problem für das Potential berechnet werden.

Fehlerabschätzung

Betrachte abstrakt die Differentialgleichung

$$\frac{\partial u(t, x)}{\partial t} = (A + B)u(t, x),$$

und die gesplitteten Gleichungen

$$\begin{aligned}\frac{\partial u^*(t, x)}{\partial t} &= Au^*(t, x), \\ \frac{\partial u^{**}(t, x)}{\partial t} &= Bu^{**}(t, x).\end{aligned}$$

Die Lösungen der Gleichungen in $t + \Delta t$ lauten dann

$$u(t + \Delta t) = e^{\Delta t(A+B)}u(t).$$

bzw.

$$u^*(t + \Delta t) = e^{\Delta t A}u^*(t), \quad u^{**}(t + \Delta t) = e^{\Delta t B}u^{**}(t).$$

Godunov-Splitting liefert die Lösung

$$\tilde{u}(t + \Delta t) = e^{\Delta t B}u^*(t + \Delta t) = e^{\Delta t B}e^{\Delta t A}u(t).$$

Ein Vergleich der Reihenentwicklungen zeigt

$$e^{\Delta t(A+B)} - e^{\Delta t B} e^{\Delta t A} = \frac{\Delta t^2}{2}(AB - BA) + \mathcal{O}(\Delta t^3),$$

d.h., falls die Operatoren nicht kommutieren, ist der Fehler von Ordnung 1 in der Zeit.

Numerische Behandlung

Eine Möglichkeit, die Splitting-Methode numerisch zu realisieren, ist, in jedem Zeitschritt t

- ▶ das elliptische Problem $-\Delta_x \phi(t, x) = \rho(t, x)$ mit FEM zu lösen und
- ▶ die zwei Transportgleichungen

$$\frac{\partial f}{\partial t} + v \cdot \nabla_x f = 0, \quad \frac{\partial f}{\partial t} + E \cdot \nabla_v f = 0$$

mit FVM zu behandeln.

Im Folgenden werden beide Verfahren zusammen mit einer Implementierung in DUNE vorgestellt.

Galerkin-Formulierung

Wir betrachten als Beispiel das Poisson-Problem

$$\begin{aligned} -\Delta u &= f && \text{in } \Omega, \\ u &= 0 && \text{auf } \Gamma. \end{aligned}$$

Die FEM basiert auf einer schwachen Formulierung, der Galerkin-Formulierung. Betrachten wir dazu den Raum

$$V = \{ v \in H^1(\Omega) \mid v = 0 \text{ auf } \Gamma \}.$$

Mit der ersten Greenschen Formel erhalten wir für $u, v \in V$:

$$\int_{\Omega} -\Delta u v \, dx = \int_{\Omega} \nabla u \cdot \nabla v \, dx,$$

Seien für $u, v \in V$ und $f \in L^2(\Omega)$

$$a(u, v) = \int_{\Omega} \nabla u \cdot \nabla v \, dx = \int_{\Omega} -\Delta u \, v \, dx,$$

und

$$\varphi(v) = \int_{\Omega} f \, v \, dx.$$

Damit lautet die Galerkin-Formulierung des Problems
Finde $u \in V$, sodass

$$a(u, v) = \varphi(v), \quad v \in V,$$

gilt.

Galerkin-Approximation

Für die FEM schränken wir die Galerkin-Formulierung auf einen endlich dimensionalen Unterraum $V_h \subset V$ ein. Diese sogenannte Galerkin-Approximation lautet:

Finde $u_h \in V_h$, sodass

$$a(u, v) = \varphi(v), \quad v \in V_h,$$

gilt.

Konstruktion Finiter Elemente

Die Idee der FEM ist es, den Raum V_h bezüglich einer Zerlegung von Ω in Dreiecke K_i zu wählen. Dabei sind die Dreiecke K_i Teil eines Tupels $(K_i, \mathcal{P}_i, \mathcal{N}_i)$, genannt Finites Element, mit den Eigenschaften:

- ▶ $K_i \subset \mathbb{R}^2$ ist abgeschlossen und beschränkt mit nichtleerem Inneren und stückweise glattem Rand.
- ▶ \mathcal{P}_i ist ein endlich dimensionaler Vektorraum von Funktionen auf K_i .
- ▶ $\mathcal{N}_i = \{N_{i,1}, N_{i,2}, \dots, N_{i,k}\}$ ist eine Basis von \mathcal{P}_i .

Beispiel Lagrange Element

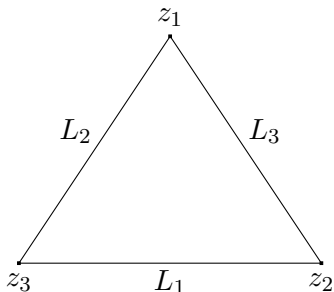


Abbildung: *Lagrange-Element für lineare Ansatzfunktionen*

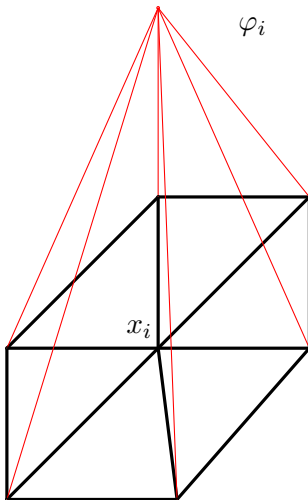


Abbildung: Lineare Ansatzfunktion φ_i im Knoten x_i

Interpolationsoperator

Zu jedem finiten Element $(K, \mathcal{P}, \mathcal{N})$ betrachten wir den lokalen Interpolationsoperator

$$\mathcal{I}_K v = \sum_{j=1}^k N_j(v) \varphi_j,$$

wobei $\{\varphi_j\}$ eine duale Basis zu \mathcal{N} ist.

Den globale Interpolationsoperator definieren wir durch

$$(\mathcal{I}^h v)|_{K_i} = \mathcal{I}_{K_i} v, \quad i \in I.$$

Beispiel für Interpolation

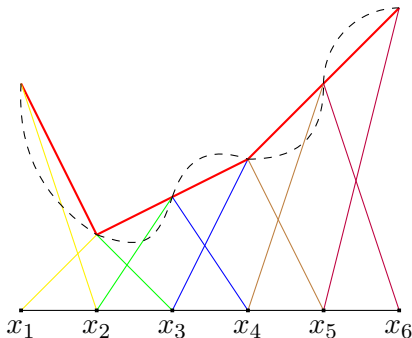


Abbildung: Interpolation durch lineare Ansatzfunktionen

Fehlerabschätzung

Die Formfunktionen \mathcal{P}_i können so gewählt werden, dass sie die Approximationsordnung m haben, d.h.

$$\|v - \mathcal{I}^h v\|_{H^1(\Omega)} \leq Ch^{m-1} |v|_{H^m(\Omega)}, \quad \forall v \in V \cap C^k(\Omega).$$

Wählt man nun den Unterraum V_h als

$$V_h = \mathcal{I}^h(V \cap C^k(\Omega)) \cap C(\Omega),$$

so folgt aus Céas Lemma direkt

$$\|u - u_h\|_{H^1(\Omega)} \leq Ch^{m-1} |u|_{H^m(\Omega)}.$$

Ist $\{\psi_j\}_{j=1}^N$ eine Basis von V_h , so lässt sich die Galerkin-Approximation als lineares Gleichungssystem

$$Au_h = f_h$$

schreiben. Dabei ist die Matrix $A \in \mathbb{R}^{N \times N}$ durch

$$A_{jk} = a(\psi_j, \psi_k) = \int_{\Omega} \nabla \psi_j \cdot \nabla \psi_k \, dx,$$

und die rechte Seite $f_h \in \mathbb{R}^N$ durch

$$(f_h)_j = \varphi(\psi_j) = \int_{\Omega} f \psi_j \, dx$$

gegeben.

Überblick

DUNE, kurz für *Distributed and Unified Numerics Environment*, ist ein in C++ geschriebener, modularer Baukasten zum Lösen von partiellen Differentialgleichungen mit gitterbasierten Methoden.

Er besteht aus

- ▶ *core modules*,
- ▶ *grid modules* und
- ▶ *discretization modules*.

Der Fokus dieses Vortrags liegt auf dem discretization module *dune-fem*.

Das Programm

Im Kern besteht das Programm aus sechs Teilen, nämlich

- ▶ der Klasse **Probleminterface**,
- ▶ der Klasse **Model**,
- ▶ der Klasse **EllipticOperator**,
- ▶ der Funktion **assembleRHS()**,
- ▶ der Klasse **FemScheme** und
- ▶ den Funktionen **main()** und **algorithm()**.

ProblemInterface und Model

Die Klassen ProblemInterface und Model beschreiben das Problem, d.h., sie enthalten die Koeffizienten und die Randbedingungen des allgemeineren Problems

$$\begin{aligned} -\operatorname{div}(D(x) \cdot \nabla u(x)) + m(x)u(x) &= f(x), & x \in \Omega, \\ u(x) &= g(x), & x \in \Gamma_D, \\ D(x)\nabla u(x) \cdot \nu + \alpha(x)u(x) &= t(x), & x \in \Gamma_N. \end{aligned}$$

Beispiel für Model

```

1  template< class FunctionSpace , class GridPart >
2  struct DiffusionModel
3  {
4      template< class Entity , class Point >
5      void diffusiveFlux ( const Entity &entity ,
6                          const Point &x ,
7                          const RangeType &value ,
8                          const JacobianRangeType &
9
10                         JacobianRangeType &flux ) const
11  {
12      flux = gradient;
13  }

```

EllipticOperator

Die Klasse EllipticOperator kümmert sich um den Aufbau der Matrix A , d.h., sie berechnet die Einträge

$$A_{jk} = \int_{\Omega} \nabla \psi_j \cdot \nabla \psi_k \, dx = \sum_{i \in I} \int_{K_i} \nabla \psi_j \cdot \nabla \psi_k \, dx .$$

Dazu betrachtet man lokale Matrizen $A^i, i \in I$, die den Beitrag auf dem Element K_i umfassen.

Referenzelement

Es ist üblich, die Elemente K_i mit einem Referenzelement K vermöge einer Abbildung $F_i : K \rightarrow K_i$ zu identifizieren.

Somit folgt

$$\begin{aligned} A_{jk}^i &= \int_{K_i} \nabla \psi_j \cdot \nabla \psi_k \, dx \\ &= \int_K |\det DF_i| (\nabla \psi_j \cdot \nabla \psi_k) \circ F_i \, d\tilde{x} \\ &\approx |K| \sum_{\alpha=1}^q w_\alpha |\det DF_i(\tilde{x}_\alpha)| (\nabla \psi_j^K \cdot \nabla \psi_k^K)(\tilde{x}_\alpha), \end{aligned}$$

für eine geeignete Quadratur und Basisfunktionen $\{\psi_j^K\}$ auf K .

Beispiel für Berechnung der Einträge

```

1  for( IteratorType it = rangeSpace.begin(); it !=
2      rangeSpace.end(); ++it )
3  {
4      const EntityType &entity = *it;
5      const GeometryType &geometry = entity.geometry();
6
7      LocalMatrixType jLocal = jOp.localMatrix( entity,
8          entity );
9
10     QuadratureType quadrature( entity, order );
11     for( size_t pt = 0; pt < quadrature.nop(); ++pt )
12     {
13         const double weight = quadrature.weight( pt ) *
14             geometry.integrationElement( quadrature.point( pt
15             ) );

```

Berechnung der Matrixeinträge

Die Matrix A^i wird spaltenweise aufgebaut, d.h., in

$$A_{jk}^i = |K| \sum_{\alpha=1}^q w_{\alpha} |\det DF_i(\tilde{x}_{\alpha})| (\nabla \psi_j^K \cdot \nabla \psi_k^K)(\tilde{x}_{\alpha}),$$

werden für festes k und alle j die Einträge simultan berechnet. Durch Caching werden die Basisfunktionen ψ_j^K nur einmalig in den Quadraturpunkten ausgewertet.

Beispiel für Berechnung der Einträge

```
1 domainBaseSet.jacobianAll( quadrature[ pt ], dphi );
2
3 RangeJacobianRangeType adphi( 0 );
4 for( unsigned int localCol = 0; localCol <
5     domainNumBasisFunctions; ++localCol )
6 {
7     model().DiffusiveFlux( entity, quadrature[ pt ],
8         dphi[ localCol ], adphi );
9
10    jLocal.column( localCol ).axpy( dphi, adphi, weight
11        );
12 }
```

Das restliche Programm

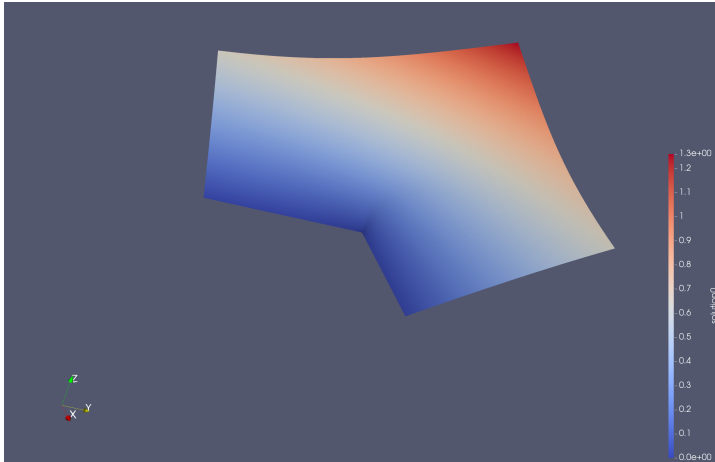
- ▶ Der Aufbau der rechten Seite f_h in `assembleRHS()` verläuft analog zur Berechnung der Matrix A .
- ▶ Die Klasse `FemScheme` wählt den Raum V_h und lässt das Gleichungssystem aufstellen und lösen.
- ▶ Die Funktionen `algorithm()` und `algorithm` erzeugen ein Objekt der Klasse `FemScheme` für das gewählte Problem und Gitter. Außerdem lesen sie die Parameterdatei und schreiben die Ergebnisse in eine Datei.

Beispiel

Wir betrachten das Poisson-Problem mit rechter Seite $f = 0$ und Dirichletbedingung

$$g(x) = \|x\|_2^{2/3} \sin\left(\frac{2\alpha}{3}\right),$$

wobei $\alpha = \arctan(x_1/x_2)$ ist.



Bemerkungen

- ▶ Die Behandlung von Randbedingungen erfolgt in der Klasse DirichletConstraints.
- ▶ Es können verschiedene Löser für das Gleichungssystem verwendet werden.
- ▶ Durch leichte Modifikationen kann das Programm auch nichtlineare Probleme lösen.

Problemstellung

Wir betrachten das eindimensionale hyperbolische Problem

$$\frac{\partial q}{\partial t} + \frac{\partial f(q)}{\partial x} = 0,$$

in $\Omega \times \mathbb{R}_{>0}$.

Diskretisierung

Wir zerlegen Ω in Intervalle

$$\mathcal{C}_i = (x_{i-1/2}, x_{i+1/2}) \subset \Omega$$

der Länge Δx und die Zeitachse in Intervalle

$$(t_n, t_{n+1}) \subset \mathbb{R}_{>0}$$

der Länge Δt .

Umformulierung

Wir integrieren die Gleichung über jede Zelle \mathcal{C}_i :

$$\frac{\partial}{\partial t} \int_{\mathcal{C}_i} q \, dx = - \int_{\mathcal{C}_i} \frac{\partial f(q)}{\partial x} \, dx = f(q(x_{i-1/2})) - f(q(x_{i+1/2}))$$

und über jedes Zeitintervall (t_n, t_{n+1}) :

$$\int_{\mathcal{C}_i} q(x, t_{n+1}) \, dx - \int_{\mathcal{C}_i} q(x, t_n) \, dx = \int_{t_n}^{t_{n+1}} f(q(x_{i-1/2}, t)) \, dt - \int_{t_n}^{t_{n+1}} f(q(x_{i+1/2}, t)) \, dt$$

Mit

$$Q_i^n \approx \frac{1}{\Delta x} \int_{x_{i-1/2}}^{x_{i+1/2}} q(x, t_n) dx$$

und

$$F_{i-1/2}^n \approx \frac{1}{\Delta t} \int_{t_n}^{t_{n+1}} f(q(x_{i-1/2}, t)) dt$$

erhalten wir das numerische Schema

$$Q_i^{n+1} = Q_i^n - \frac{\Delta t}{\Delta x} (F_{i+1/2}^n - F_{i-1/2}^n).$$

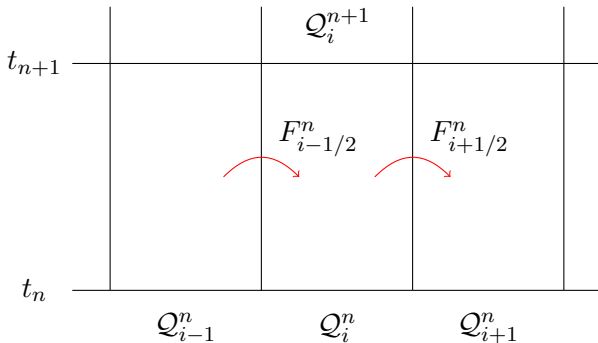


Abbildung: Motivation für das numerische Schema.

Godunovs Methode

1. Approximiere q im Zeitschritt t_n durch die stückweise konstante Funktion \tilde{q}^n , gegeben durch

$$\tilde{q}^n(x, t_n) = Q_i^n \quad \text{für } x \in C_i.$$

2. Berechne die Lösung q^{n+1} des hyperbolischen Problems $q_t + f(q)_x = 0$ mit Anfangsbedingung \tilde{q}^n zur Zeit t_{n+1} .
3. Berechne die neuen Zellmittelwerte

$$Q_i^{n+1} = \frac{1}{\Delta x} \int_{C_i} \tilde{q}^n(x, t_{n+1}) dx$$

und gehe zu Schritt 1.

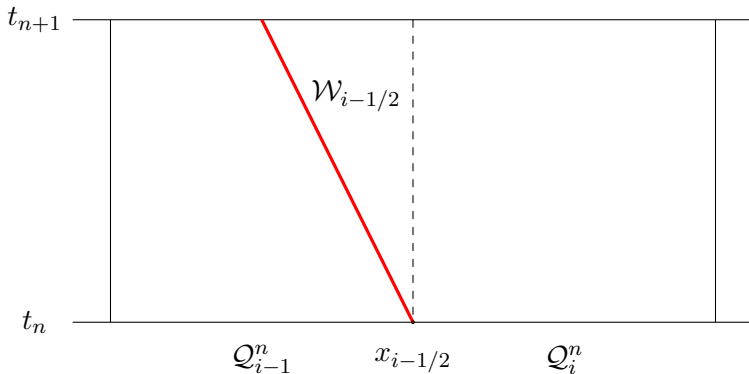


Abbildung: Riemann-Problem im Punkt $x_{i-1/2}$.

Riemann-Problem

Die Funktion $\tilde{q}^n(x_{i-1/2}, \cdot)$ ist konstant auf (t_n, t_{n+1}) und ihr Wert $q^\downarrow(Q_{i-1}, Q_i)$ kann durch Lösen des Riemann-Problems

$$qt + f(q)_x = 0, \quad q(x, t_n) = \begin{cases} Q_{i-1}^n, & x < x_{i-1/2}, \\ Q_i^n, & x > x_{i-1/2}, \end{cases}$$

bestimmt werden. Der numerische Fluss ist dann gegeben durch

$$F_{i-1/2}^n = \frac{1}{\Delta t} \int_{t_n}^{t_{n+1}} f(q^\downarrow(Q_{i-1}^n, Q_i^n)) dt = f(q^\downarrow(Q_{i-1}^n, Q_i^n)).$$

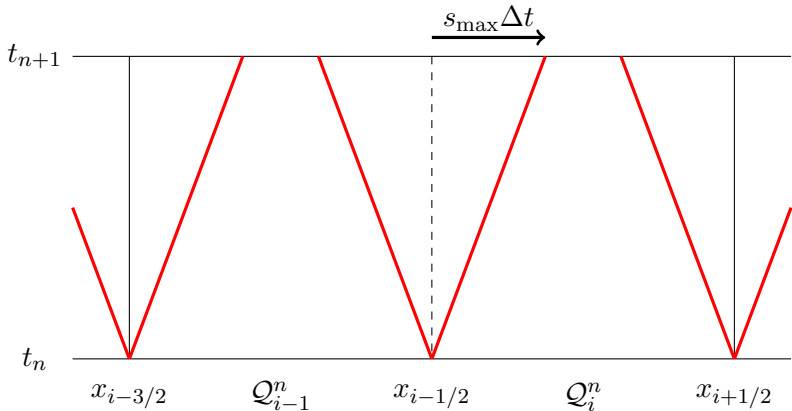


Abbildung: Stabilitätsbedingung für Godunovs Methode.

Stabilität und Konvergenz

- ▶ Godunovs Methode ist im Allgemeinen stabil für Courantzahl

$$\frac{s_{\max} \Delta t}{\Delta x} \leq 1,$$

wobei s_{\max} die größte Wellengeschwindigkeit ist.

- ▶ Godunovs Methode ist von erster Ordnung.
- ▶ Anstelle von konstanten Funktionen können auch lineare Funktionen \tilde{q} verwendet werden. Dies bildet die Grundlage für höher aufgelöste Methoden.

Upwind-Methode

Wir betrachten die Gleichung $q_t + aq_x = 0$ mit $a \in \mathbb{R}$ konstant.
Dann gilt offenbar für $t \in (t_n, t_{n+1})$

$$\tilde{q}^n(x_{i-1/2}, t) = \tilde{q}^n(x_{i-1/2} - a(t - t_n), t_n) = \begin{cases} Q_{i-1}^n, & a > 0, \\ Q_i^n, & a < 0. \end{cases}$$

Mit $a = a_+ + a_-$ erhalten wir den numerischen Fluss

$$F_{i-1/2}^n = a_+ Q_{i-1}^n + a_- Q_i^n.$$

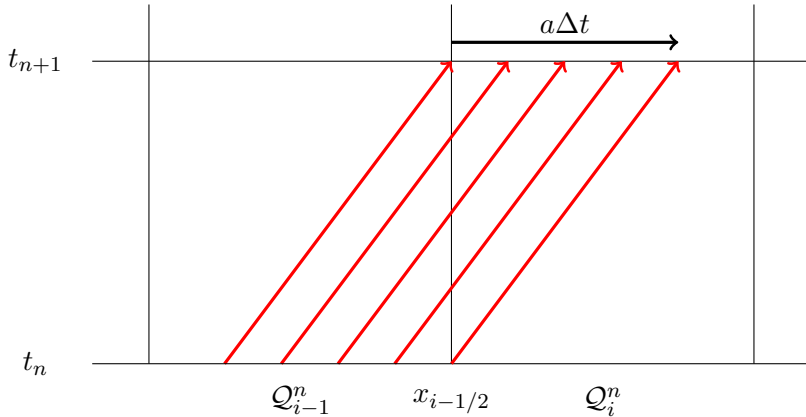


Abbildung: Veranschaulichung der Upwind-Methode

Das Programm

Das Programm besteht aus

- ▶ der Klasse **ProblemData**,
- ▶ der Klasse **TransportModel**
- ▶ der Klasse **FiniteVolumeScheme** und
- ▶ den Funktionen **main()** und **algorithm()**.

ProblemData

Wie zuvor beschreibt ProblemData ein Problem der Form

$$\begin{aligned}\frac{\partial q(x, t)}{\partial t} + a \cdot \nabla q(x, t) &= 0, & x \in \Omega, t \in (0, T), \\ q(x, t) &= h(x, t), & x \in \Gamma_D, t \in (0, T), \\ q(x, 0) &= q_0(x), & x \in \Omega.\end{aligned}$$

TransportModel

Ausgehend von einem Objekt der Klasse `ProblemData` wird hier der numerische Fluss F berechnet. Für eine einfache Upwind-Methode ist er gegeben durch

$$F(q_\ell, q_r, n) = \begin{cases} (aq_\ell) \cdot n, & a \cdot n < 0, \\ (aq_r) \cdot n, & a \cdot n \geq 0. \end{cases}$$

FiniteVolumeScheme

Hier wird die Lösung für den Zeitschritt t_n nach t_{n+1} berechnet.

Seien $\mathcal{C}_i \subset \Omega$ Zellen mit

- ▶ Nachbarn \mathcal{C}_j mit gemeinsamen Randflächen S_{ij} , $j \in N(i)$,
- ▶ Randflächen S_j mit $S_j \subset \Gamma$, $j \in B(i)$,
- ▶ und äußerem Normalenvektor n_i .

Damit lautet das lokale Update:

$$Q_i^{n+1} = Q_i^n - \frac{\Delta t}{|C_i|} \left(\sum_{j \in N(i)} |S_{ij}| F(Q_i^n, Q_j^n, n_i) + \sum_{j \in B(i)} |S_j| F(Q_i^n, h(\cdot, t_n), n_i) \right)$$

Implementierung

```
1  const IteratorType end = space.end();
2  for( IteratorType it = space.begin(); it != end; ++it
   )
3  {
4      const EntityType &entity = *it;
5      const double enVolume = 1.0 / geo.volume();
6
7      const LocalFunctionType lfSolEn = solution.
          localFunction( entity );
8      LocalFunctionType lfUpdEn = update.localFunction(
          entity );
```

```
1  const IntersectionIteratorType iitend = gridPart.iend(  
    entity );  
2  for( IntersectionIteratorType iit = gridPart.ibegin(  
    entity ); iit != iitend; ++iit )  
3  {  
4  const IntersectionType &intersection = *iit;  
5  
6  const GlobalCoordinateType  normal = intersection.  
    centerUnitOuterNormal();  
7  LocalCoordinateType pointEn = intersection.  
    geometryInInside().center();  
8  const double faceVolume = intersection.geometry().  
    volume();  
9  
10 RangeType qLeft;  
11 lfSolEn.evaluate( pointEn, qLeft );
```

```
1  if( intersection.neighbor() )
2  {
3      const EntityType neighbor = intersection.outside();
4      const double nbVolume = 1.0 / neighbor.geometry().
          volume();
5
6
7      LocalFunctionType lfSolNb = solution.localFunction(
          neighbor );
8      LocalFunctionType lfUpdNb = update.localFunction(
          neighbor );
9
10     LocalCoordinateType pointNb = intersection.
          geometryInOutside().center();
```

```
1 RangeType qRight;  
2 lfSolNb.evaluate( pointNb, qRight );  
3  
4 RangeType flux;  
5 model().numericalFlux( normal, qLeft, qRight, flux );  
6  
7 RangeType enFlux = flux;  
8 enFlux *= -enVolume * faceVolume;  
9 lfUpdEn.axpy( pointEn, enFlux );  
10  
11 RangeType nbFlux = flux;  
12 nbFlux *= nbVolume * faceVolume;  
13 lfUpdNb.axpy( pointNb, nbFlux );  
14 }
```

Beispiel 1

Wir betrachten das Transportproblem für $a = (1.25, 1.25)^\top$ und

$$q_0 = \mathbb{1}_{B_{1/2}(0)}.$$

Bemerkungen

- ▶ Die zweite Summe für die Randbedingung wird ähnlich berechnet.
- ▶ Es können alternativ verschiedene Runge-Kutta-Verfahren verwendet werden.

Zusammenfassung

- ▶ Wir haben die FEM und FVM am Beispiel des Poisson Problems und der Transportgleichung kennengelernt.
- ▶ Die FEM baut auf der Galerkin-Formulierung auf, während die FVM die Erhaltungsgleichung als Grundlage nimmt.
- ▶ Wir haben die Methoden mit Hilfe der Bibliothek DUNE realisiert. Die Vorteile von DUNE bestehen in der Modularisierung und einfachen Handhabung.